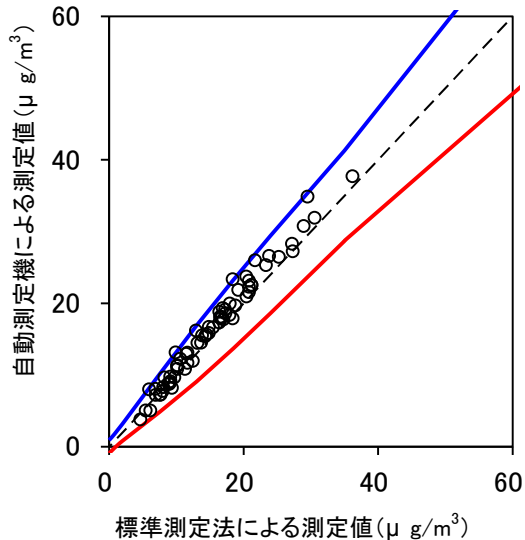


⑤ APDA-375A ((株) 堀場製作所)

A: グループごとに P_R を最大化する方法

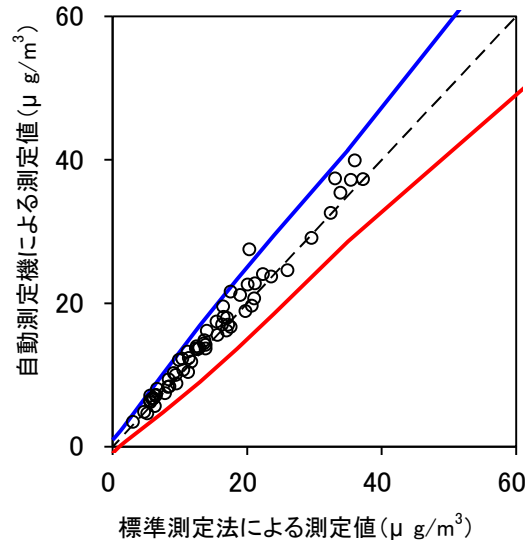
グループ 1 による評価

機種名	APDA-375A・夏季
有効測定日数	72
自動測定機の有効データ数	69
ハズレ値の個数	1
r	10
K	1.799
傾き	1.09



APDA-375Aの夏季における管理限界線との関係

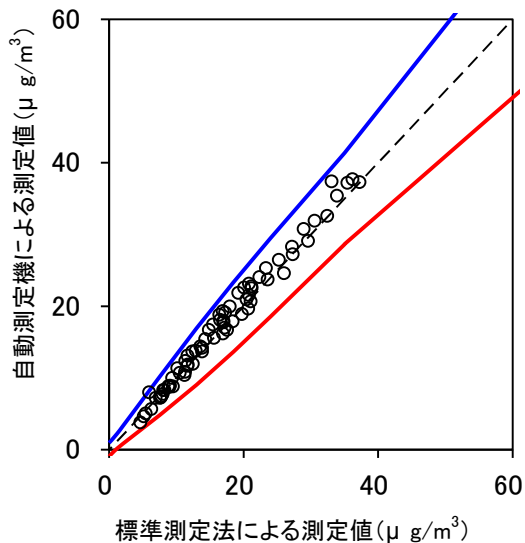
機種名	APDA-375A・冬季
有効測定日数	70
自動測定機の有効データ数	63
ハズレ値の個数	1
r	9
K	1.823
傾き	1.04



APDA-375Aの冬季における管理限界線との関係

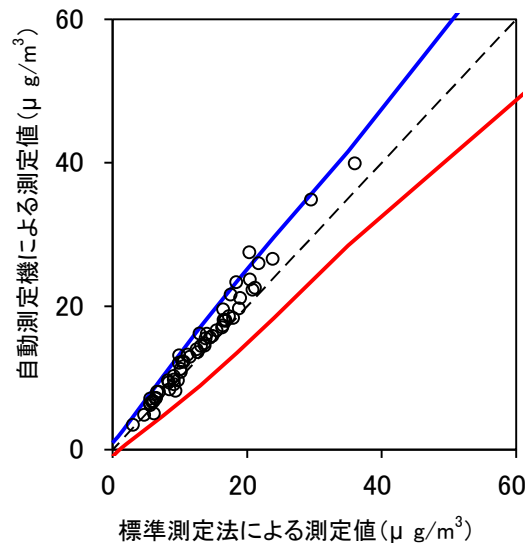
グループ 2 による評価

機種名	APDA-375A・都市部
有効測定日数	73
自動測定機の有効データ数	72
ハズレ値の個数	0
r	10
K	1.820
傾き	1.05



APDA-375Aの都市部における管理限界線との関係

機種名	APDA-375A・非都市部
有効測定日数	69
自動測定機の有効データ数	60
ハズレ値の個数	1
r	8
K	1.875
傾き	1.14



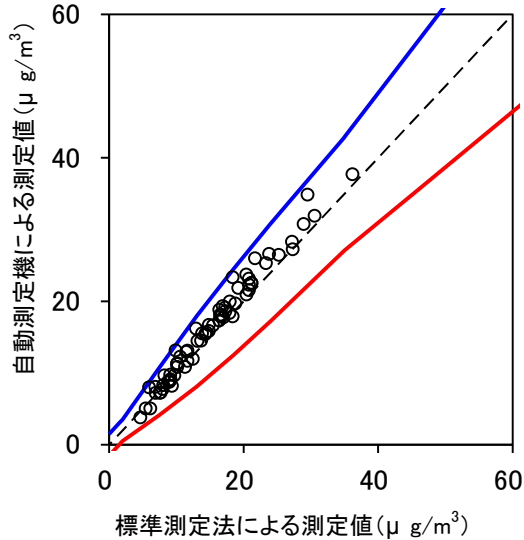
APDA-375Aの非都市部における管理限界線との関係

B : グループごとに P_R を固定する方法

(1) $\alpha = \alpha'_1$ の場合

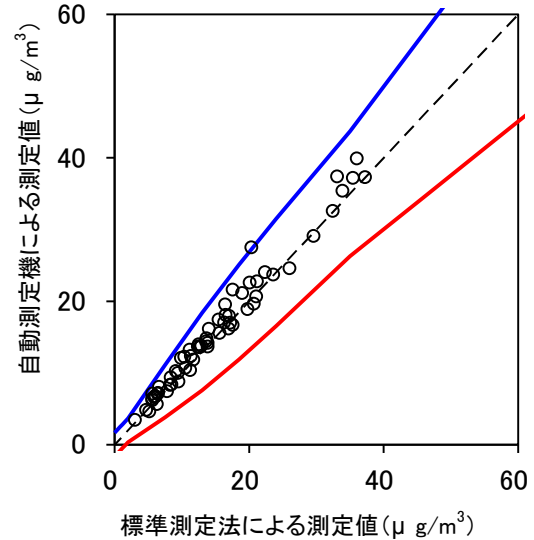
グループ 1 による評価

機種名	APDA-375A・夏季
有効測定日数	72
自動測定機の有効データ数	69
ハズレ値の個数	0
r	5
K	2.260
傾き	1.09



APDA-375Aの夏季における管理限界線との関係

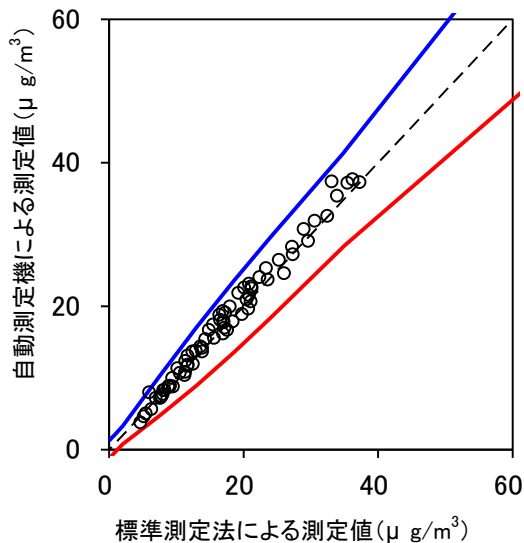
機種名	APDA-375A・冬季
有効測定日数	70
自動測定機の有効データ数	63
ハズレ値の個数	1
r	3
K	2.491
傾き	1.04



APDA-375Aの冬季における管理限界線との関係

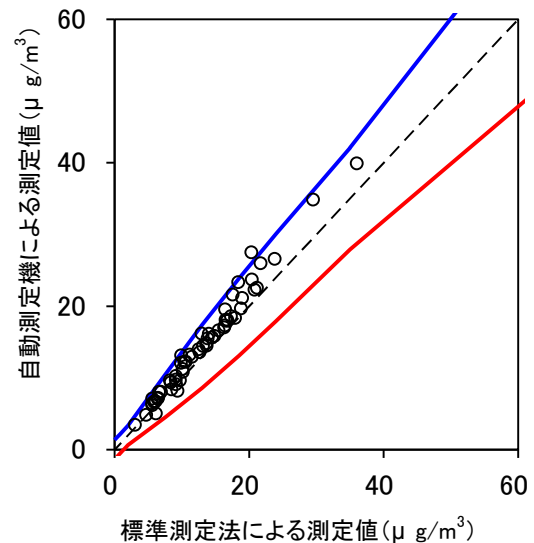
グループ 2 による評価

機種名	APDA-375A・都市部
有効測定日数	73
自動測定機の有効データ数	72
ハズレ値の個数	0
r	10
K	1.872
傾き	1.05



APDA-375Aの都市部における管理限界線との関係

機種名	APDA-375A・非都市部
有効測定日数	69
自動測定機の有効データ数	60
ハズレ値の個数	1
r	7
K	2.028
傾き	1.14

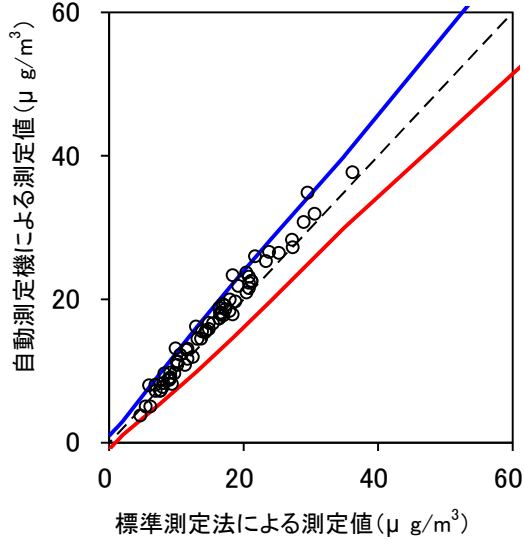


APDA-375Aの非都市部における管理限界線との関係

(2) $\alpha = \alpha'_2$ の場合

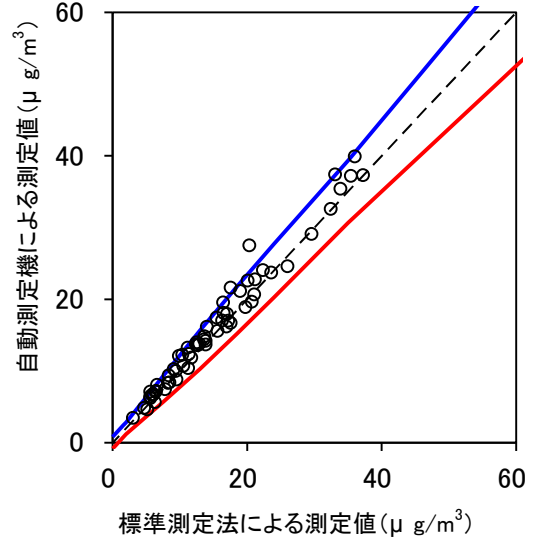
グループ 1 による評価

機種名	APDA-375A・夏季
有効測定日数	72
自動測定機の有効データ数	69
ハズレ値の個数	6
r	18
K	1.428
傾き	1.09



APDA-375Aの夏季における管理限界線との関係

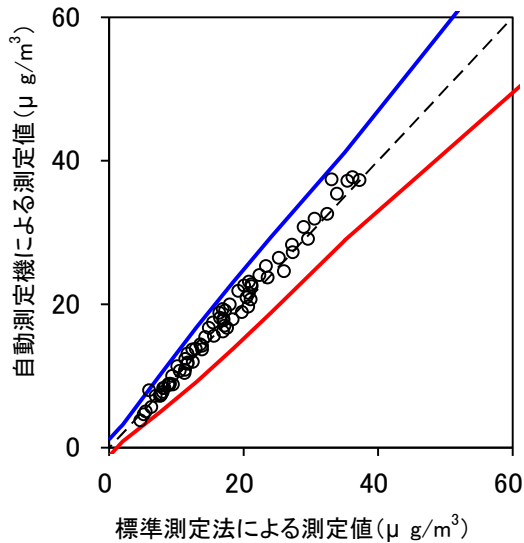
機種名	APDA-375A・冬季
有効測定日数	70
自動測定機の有効データ数	63
ハズレ値の個数	4
r	21
K	1.240
傾き	1.04



APDA-375Aの冬季における管理限界線との関係

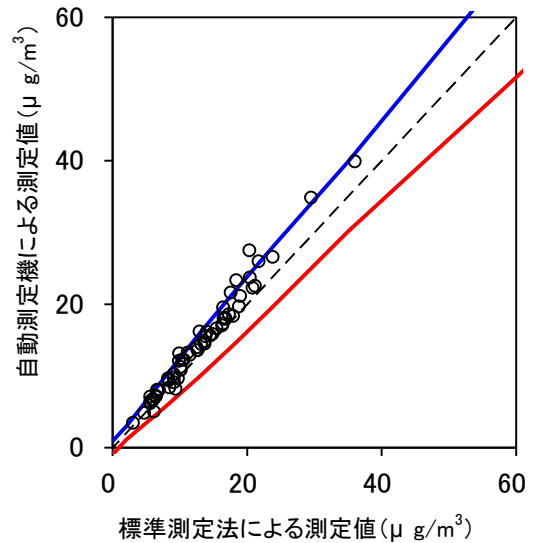
グループ 2 による評価

機種名	APDA-375A・都市部
有効測定日数	73
自動測定機の有効データ数	72
ハズレ値の個数	0
r	12
K	1.751
傾き	1.05



APDA-375Aの都市部における管理限界線との関係

機種名	APDA-375A・非都市部
有効測定日数	69
自動測定機の有効データ数	60
ハズレ値の個数	7
r	17
K	1.391
傾き	1.14

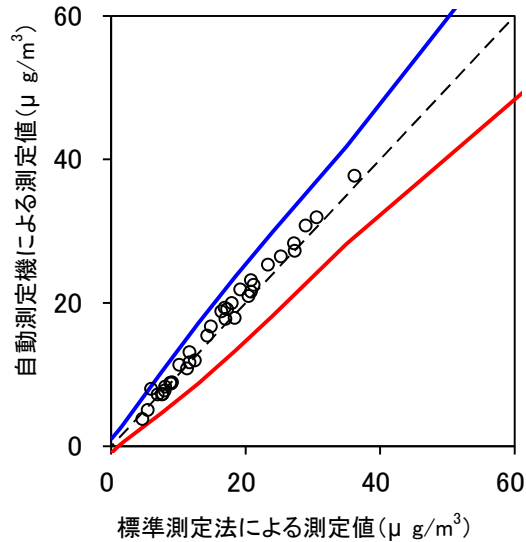


APDA-375Aの非都市部における管理限界線との関係

C: フィールドごとに P_R を最大化する方法

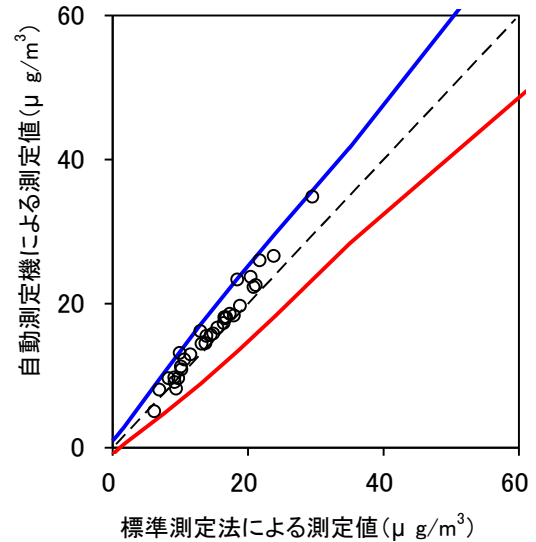
フィールドごとによる評価

機種名	APDA-375A・都市部(夏)
有効測定日数	37
自動測定機の有効データ数	36
ハズレ値の個数	0
r	5
K	1.943
傾き	1.06



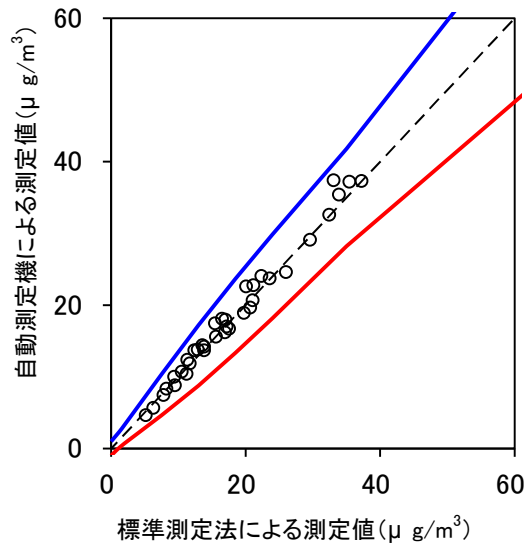
APDA-375Aの都市部(夏)における管理限界線との関係

機種名	APDA-375A・非都市部(夏)
有効測定日数	35
自動測定機の有効データ数	33
ハズレ値の個数	0
r	5
K	1.904
傾き	1.17



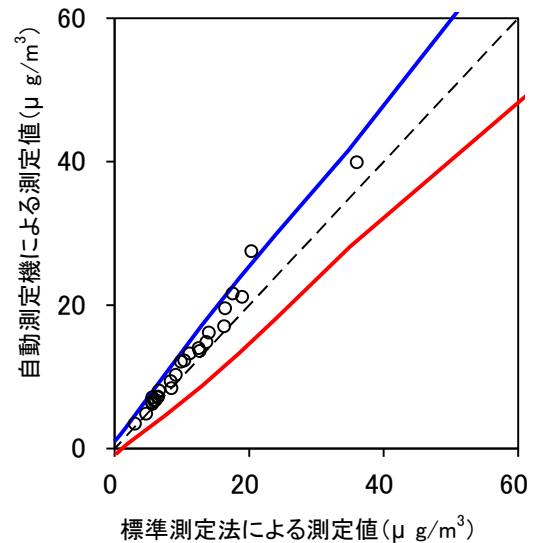
APDA-375Aの非都市部(夏)における管理限界線との関係

機種名	APDA-375A・都市部(冬)
有効測定日数	36
自動測定機の有効データ数	36
ハズレ値の個数	0
r	5
K	1.943
傾き	1.04



APDA-375Aの都市部(冬)における管理限界線との関係

機種名	APDA-375A・非都市部(冬)
有効測定日数	34
自動測定機の有効データ数	27
ハズレ値の個数	1
r	4
K	1.960
傾き	1.15



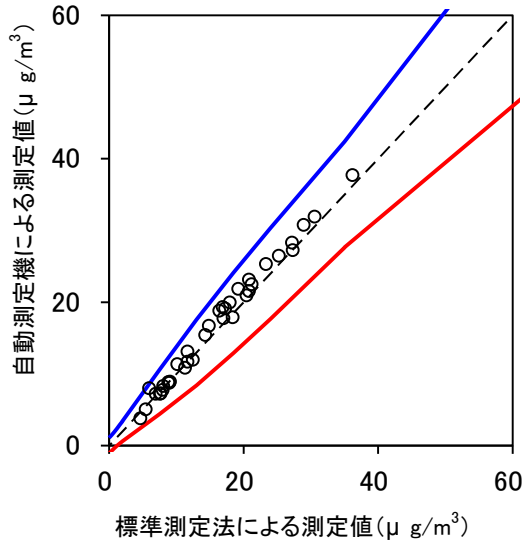
APDA-375Aの非都市部(冬)における管理限界線との関係

D: フィールドごとにPRを固定する方法

(1) $\alpha = \alpha'_1$ の場合

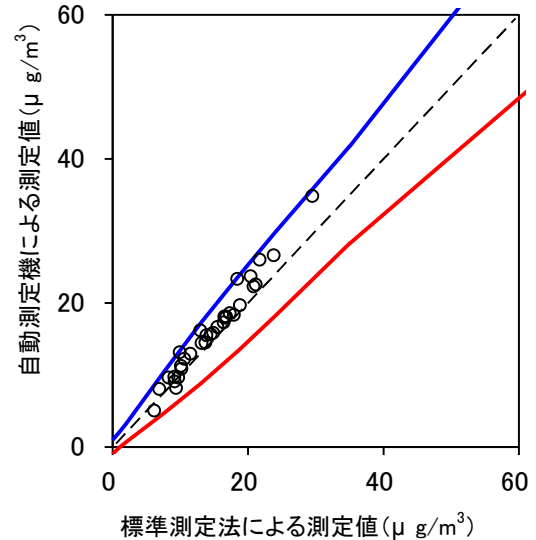
フィールドごとによる評価

機種名	APDA-375A・都市部(夏)
有効測定日数	37
自動測定機の有効データ数	36
ハズレ値の個数	0
r	4
K	2.110
傾き	1.06



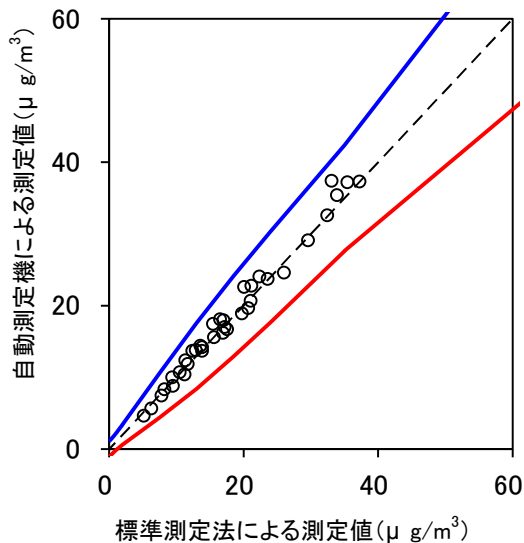
APDA-375Aの都市部(夏)における管理限界線との関係

機種名	APDA-375A・非都市部(夏)
有効測定日数	35
自動測定機の有効データ数	33
ハズレ値の個数	0
r	5
K	1.932
傾き	1.17



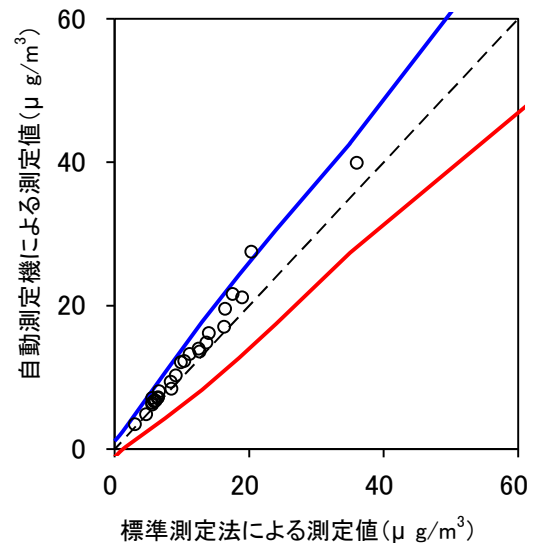
APDA-375Aの非都市部(夏)における管理限界線との関係

機種名	APDA-375A・都市部(冬)
有効測定日数	36
自動測定機の有効データ数	36
ハズレ値の個数	0
r	4
K	2.110
傾き	1.04



APDA-375Aの都市部(冬)における管理限界線との関係

機種名	APDA-375A・非都市部(冬)
有効測定日数	34
自動測定機の有効データ数	27
ハズレ値の個数	1
r	3
K	2.184
傾き	1.15

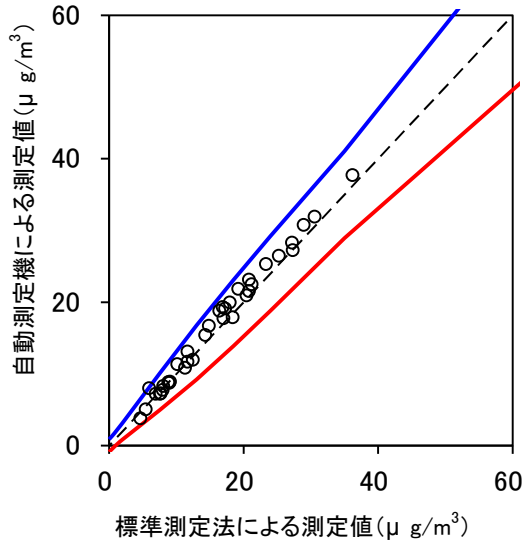


APDA-375Aの非都市部(冬)における管理限界線との関係

(2) $\alpha = \alpha'_2$ の場合

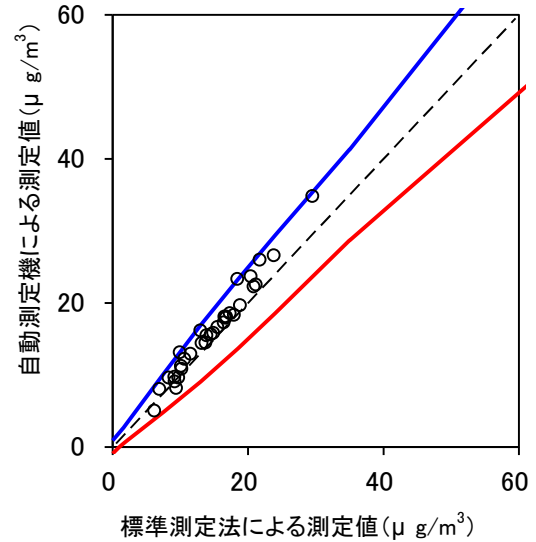
フィールドごとによる評価

機種名	APDA-375A・都市部(夏)
有効測定日数	37
自動測定機の有効データ数	36
ハズレ値の個数	0
r	7
K	1.735
傾き	1.06



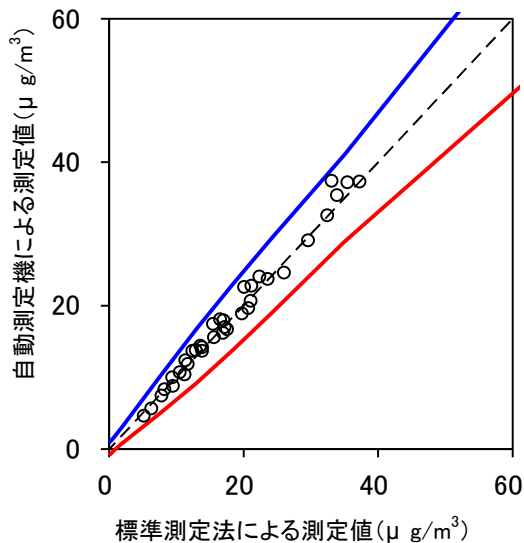
APDA-375Aの都市部(夏)における管理限界線との関係

機種名	APDA-375A・非都市部(夏)
有効測定日数	35
自動測定機の有効データ数	33
ハズレ値の個数	1
r	6
K	1.804
傾き	1.17



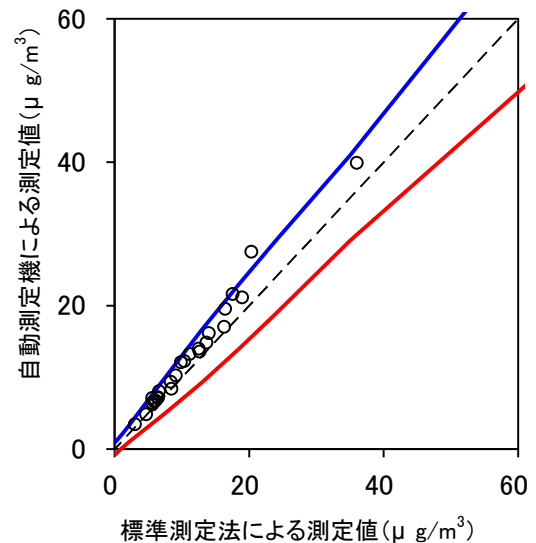
APDA-375Aの非都市部(夏)における管理限界線との関係

機種名	APDA-375A・都市部(冬)
有効測定日数	36
自動測定機の有効データ数	36
ハズレ値の個数	0
r	7
K	1.735
傾き	1.04



APDA-375Aの都市部(冬)における管理限界線との関係

機種名	APDA-375A・非都市部(冬)
有効測定日数	34
自動測定機の有効データ数	27
ハズレ値の個数	1
r	6
K	1.701
傾き	1.15



APDA-375Aの非都市部(冬)における管理限界線との関係